

**Título do trabalho a ser apresentado à
CPG para a dissertação/tese**

Rodrigo Augusto Dias Faria

TEXTO APRESENTADO
AO
INSTITUTO DE MATEMÁTICA E ESTATÍSTICA
DA
UNIVERSIDADE DE SÃO PAULO
PARA
O EXAME DE QUALIFICAÇÃO
DO
MESTRADO EM CIÊNCIAS

Programa: Ciência da Computação
Orientador: Prof. Dr. Roberto Hirata Junior

São Paulo, novembro de 2016

Resumo

SOBRENOME, A. B. C. **Título do trabalho em português**. 2010. 120 f. Tese (Doutorado) - Instituto de Matemática e Estatística, Universidade de São Paulo, São Paulo, 2010.

[illegible]

Palavras-chave: palavra-chave1, palavra-chave2, palavra-chave3.

Abstract

SOBRENOME, A. B. C. **Título do trabalho em inglês**. 2010. 120 f. Tese (Doutorado) - Instituto de Matemática e Estatística, Universidade de São Paulo, São Paulo, 2010.

[illegible]

Keywords: keyword1, keyword2, keyword3.

Sumário

Lista de Abreviaturas	ix
Lista de Símbolos	xi
Lista de Figuras	xiii
Lista de Tabelas	xv
1 Introdução	1
1.1 Considerações Preliminares	1
1.2 Objetivos	1
1.3 Contribuições	2
1.4 Organização do Trabalho	2
2 Fundamentação Teórica	3
2.1 Modelos de Cores	3
2.1.1 Modelo de Munsell	3
2.1.2 Modelo CIE	4
2.1.3 Modelo RGB	6
2.1.4 Modelo CMY	6
2.1.5 Modelo de cores da família HSI	7
2.2 Exemplo de Código-Fonte em Java	7
2.3 Algumas Referências	7
3 Conclusões	11
3.1 Considerações Finais	11
3.2 Sugestões para Pesquisas Futuras	11
3.3 Cronograma Proposto	11
A Sequências	13
Referências Bibliográficas	15
Índice Remissivo	17

Lista de Abreviaturas

CIE	Comissão Internacional de Iluminação (<i>Commission Internationale de l'Eclairage</i>)
CMY	Ciano, Magenta e Amarelo (<i>Cyan, Magenta and Yellow</i>)
UCS	Escala Uniforme de Cromaticidade (<i>Uniform Chromaticity Scale</i>)
RGB	Vermelho, Verde e Azul (<i>Red, Green and Blue</i>)

Lista de Símbolos

ω	Frequência angular
ψ	Função de análise <i>wavelet</i>
Ψ	Transformada de Fourier de ψ

Lista de Figuras

2.1	Modelo de cores de Munsell.	4
2.2	Diagrama de cromaticidade CIE 1931.	5
2.3	Cubo unitário representando as cores do modelo RGB.	6

Lista de Tabelas

- 3.1 Cronograma proposto para execução do trabalho. 11
- A.1 Exemplo de tabela. 14

1.3 Contribuições

As principais contribuições deste trabalho são as seguintes:

- Item 1. Texto texto.
- Item 2. Texto texto.

1.4 Organização do Trabalho

No Capítulo 2, apresentamos os conceitos ... Finalmente, no Capítulo 3 discutimos algumas conclusões obtidas neste trabalho. Analisamos as vantagens e desvantagens do método proposto ...

As sequências testadas no trabalho estão disponíveis no Apêndice A.

Capítulo 2

Fundamentação Teórica

Fazer uma breve introdução aqui.

2.1 Modelos de Cores

O uso de imagens coloridas em visão computacional ou no processamento de imagens pode ser motivado por dois fatores principais. O primeiro diz respeito a característica poderosa da cor de funcionar como um descritor que, frequentemente, simplifica a identificação e extração de um objeto em uma cena. O segundo está relacionado com a capacidade dos seres humanos de discernir milhares de tonalidades e intensidades, se comparado com apenas algumas dúzias de níveis de cinza (Gonzalez e Woods, 2002).

A percepção visual da cor pelo olho humano não deve variar conforme a distribuição espectral da luz natural incidente sobre um objeto. Em outras palavras, a aparência de cor dos objetos permanece estável sob condições de iluminação diferentes. Este fenômeno é conhecido como constância de cor (Gevers *et al.*, 2012).

Como exemplo, o gramado de um estádio de futebol permanece verde durante todo o dia, inclusive ao entardecer quando, de um ponto de vista físico, a luz solar tem um aspecto mais avermelhado.

A percepção humana das cores se dá pela ativação de células nervosas que enviam mensagens ao cérebro sobre brilho (*brightness*), matiz (*hue*) e saturação (*saturation*) que, geralmente, são as características usadas para distinguir uma cor de outra (Gonzalez e Woods, 2002).

O brilho dá a noção de intensidade cromática. Matiz representa a cor dominante percebida por um observador. Já a saturação refere-se à pureza relativa ou quantidade de luz branca aplicada ao matiz. Combinados, matiz e saturação são conhecidos como cromaticidade e, portanto, uma cor deve ser caracterizada por seu brilho e cromaticidade (Gonzalez e Woods, 2002).

As cores podem ser especificadas por modelos matemáticos em tuplas de números em um sistema de coordenadas e um subespaço dentro deste sistema onde cada cor é representada por um único ponto. Tais modelos são conhecidos como modelo de cores (Gonzalez e Woods, 2002).

Estes modelos podem ser classificados como de dois tipos: os modelos aditivos em que as intensidades das cores primárias são adicionadas para produzir outras cores e subtrativos, onde as cores são geradas subtraindo-se o comprimento da onda dominante da luz branca.

As seções seguintes descrevem brevemente alguns dos principais modelos de cores, bem como seus variantes e principais áreas de aplicação.

2.1.1 Modelo de Munsell

O Professor Albert H. Munsell foi pioneiro na tentativa de organizar a percepção de cor em um espaço de cores. Mais do que isso, Munsell conseguiu aliar a arte e a ciência das cores em uma única teoria (Plataniotis e Venetsanopoulos, 2000).

O princípio da igualdade de espaçamento entre os componentes do modelo é a ideia principal do modelo de cores de Munsell (Plataniotis e Venetsanopoulos, 2000). Esses componentes são matiz (*hue*), luminosidade (*value*) e saturação (*chroma*).

O modelo é representado por uma forma cilíndrica e pode ser visto na figura 2.1. O matiz está disposto no eixo circular que consiste de cinco cores de base e cinco secundárias, a saturação no eixo radial e a luminosidade no eixo vertical em uma escala variando de 0 a 10.

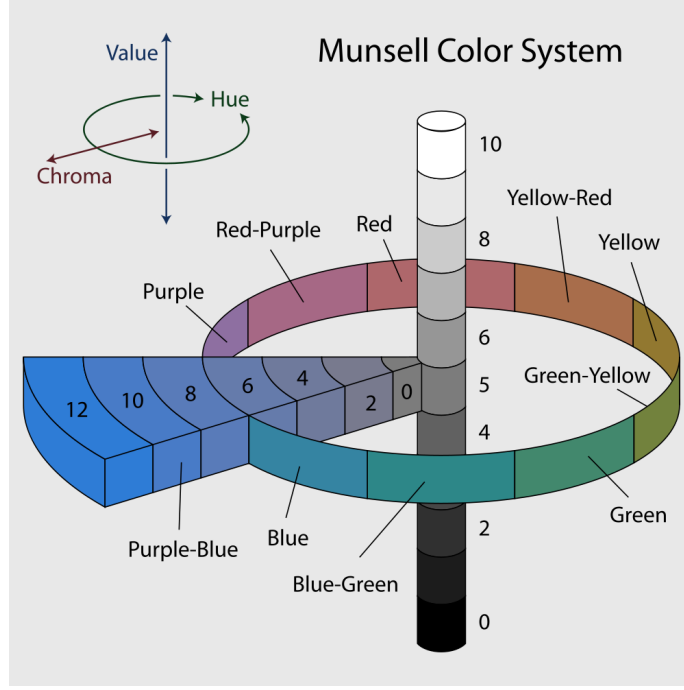


Figura 2.1: Modelo de cores de Munsell.

2.1.2 Modelo CIE

Em 1931, o CIE estabeleceu o primeiro modelo matemático de especificação numérica da cor, cujo objetivo era analisar a relação entre os aspectos físicos das cores no espectro eletromagnético e sua percepção pelo sistema visual humano para determinar como uma pessoa comum percebe a cor. Uma revisão desta especificação foi publicada em 1964 (Gonzalez e Woods, 2002).

O experimento que originou o padrão consistia em detectar as cores percebidas por um observador a partir de uma mistura de três cores primárias X, Y e Z chamadas de valores tristímulus. Estas coordenadas deram origem ao espaço de cores **CIE XYZ** que engloba todas as cores que podem ser percebidas por um ser humano comum e, por esta razão, é considerado uma representação independente de dispositivo (Plataniotis e Venetsanopoulos, 2000).

O sistema proposto pelo CIE XYZ para descrição de uma cor é baseado em um componente de luminância Y e outros dois componentes adicionais X e Z que dão a informação de cromaticidade. Este sistema é formado por cores imaginárias que podem ser expressas como combinações das medidas normalizadas abaixo:

$$x = \frac{X}{X + Y + Z} \quad (2.1)$$

$$y = \frac{Y}{X + Y + Z} \quad (2.2)$$

$$z = \frac{Z}{X + Y + Z} \quad (2.3)$$

com $x + y + z = 1$.

As combinações de valores negativos e outros problemas relacionados à seleção de um conjunto de primárias reais são eliminados. As coordenadas de cromaticidade x e y permitem representar todas as cores num plano bidimensional, conhecido como diagrama de cromaticidade, que pode ser visto na figura 2.2.

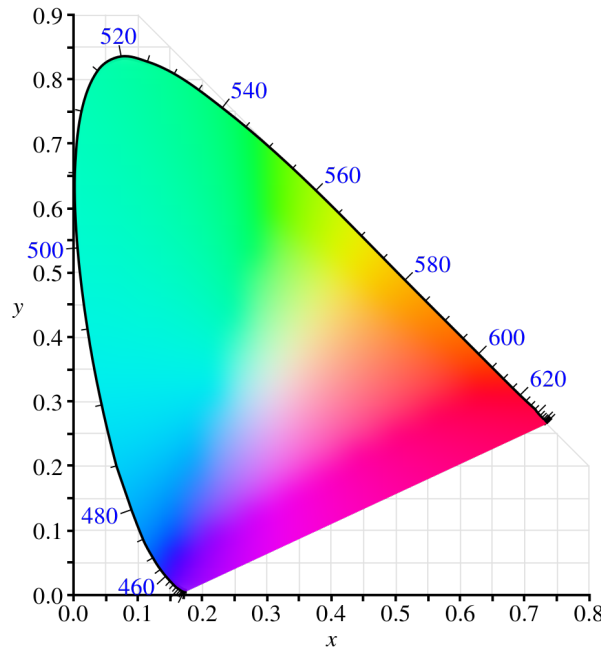


Figura 2.2: Diagrama de cromaticidade CIE 1931.

Os pontos que representam as cores puras no espectro eletromagnético são rotulados de acordo com os seus comprimentos de onda e estão localizados ao longo da curva que vai da extremidade direita do eixo x correspondente à cor vermelha até a extremidade esquerda do mesmo eixo correspondente à cor violeta, formando um polígono parecido com uma ferradura. Os pontos internos correspondem a todas as combinações possíveis de cores visíveis. As coordenadas $(x = 1/3, y = 1/3)$ correspondem à localização da luz branca, também conhecida como ponto branco, e servem de referência no processo de captura de imagem, codificação ou reprodução.

O CIE também derivou e padronizou outros dois modelos de cores a partir da especificação do CIE XYZ e, da mesma maneira, são independente de dispositivo. Ambos são perceptualmente uniformes, ou seja, distâncias perceptuais iguais separam todas as cores (Vezhnevets *et al.*, 2003). Como exemplo, a escala de cinzas do espaço deve permitir uma transição suave entre o preto e o branco.

O primeiro deles foi concebido para reduzir o problema de não uniformidade perceptual. Alguns diagramas de Escala Uniforme de Cromaticidade (UCS) foram propostos com base em equações matemáticas para transformar os valores XYZ ou as coordenadas x, y em um novo conjunto de valores (u, v) , o que deu origem ao diagrama de cromaticidade 1960 CIE uv (Gevers *et al.*, 2012).

Ainda com resultados insatisfatórios, o CIE fez uma nova mudança multiplicando o componente v por um fator 1,5. Além disso, a escala de luminosidade dada pelo componente Y foi substituída por $L^* = [0, 100]$ para melhor representar as diferenças na luminosidade que são equivalentes. Esta revisão originou o modelo de cores **CIE 1976 $L^*u^*v^*$** , comumente conhecido pela sigla CIELUV (Gevers *et al.*, 2012).

Em 1976 o CIE adotou um novo modelo de cores, baseado no modelo L, a, b , proposto por Richard Hunter em 1948, que melhor representava o espaçamento uniforme das cores. Denominado **1976 CIE $L^*a^*b^*$** e conhecido pela sigla CIELAB, é um espaço baseado em cores oponentes ¹ no

¹Teoria iniciada por volta do ano de 1500 quando Leonardo da Vinci concluiu que as cores são produzidas pela mistura de amarelo e azul, verde e vermelho, e branco e preto. Em 1950 houve a confirmação desta teoria quando sinais de cores oponentes foram detectados na conexão óptica entre a retina e o cérebro (Gevers *et al.*, 2012).

qual os estímulos de cor da retina são convertidos para distinções entre claro e escuro, vermelho e verde, e azul e amarelo, representados pelos eixos L^* , a^* , e b^* , respectivamente (Gevers *et al.*, 2012).

2.1.3 Modelo RGB

O modelo RGB, acrônimo do inglês *Red*, *Green*, *Blue*, é um modelo de cores aditivo no qual as três cores primárias vermelho, verde e azul são somadas para produzir as demais (Gonzalez e Woods, 2002).

Esse sistema foi baseado na teoria tricromática de Thomas Young e Hermann Helmholtz em meados do século 19 e pode ser representado graficamente através do cubo unitário definido sobre os eixos R, G e B, como ilustrado na figura 2.3 (Plataniotis e Venetsanopoulos, 2000).

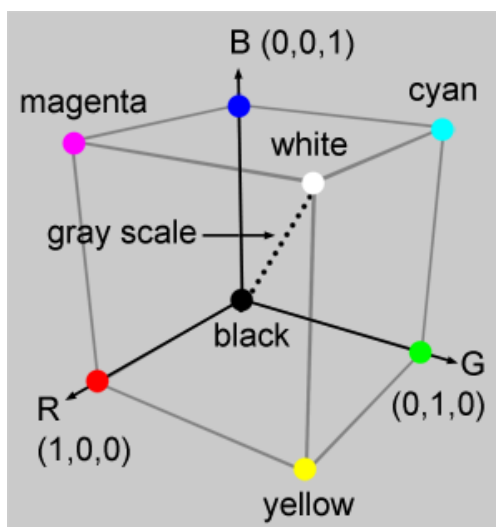


Figura 2.3: Cubo unitário representando as cores do modelo RGB.

A origem, dada pelo vértice $(0, 0, 0)$, representa a cor preta. Já o vértice $(1, 1, 1)$, oposto à origem, representa a cor branca. Os vértices destacados sobre os eixos representam as cores primárias e os demais são o complemento de cada uma delas. Cada ponto no interior do cubo corresponde a uma cor que pode ser representada pela tripla (r, g, b) , onde $r, g, b \in [0, 1]$. Os tons de cinza são representados ao longo da diagonal principal do cubo, sendo que cada ponto ao longo dessa diagonal é formado por contribuições iguais de cada primária.

Vale ressaltar que existem duas formas de representar o espaço RGB: linear e não linear. O sistema supra citado mostra o modelo não linear, cuja sigla é $R'G'B'$, e é o mais utilizado por dispositivos e aplicações pela sua similaridade com o sistema visual humano. Na literatura, este sistema é frequentemente citado com a sigla RGB, o que torna a nomenclatura dúbia, uma vez que o modelo linear também é denominado RGB e, portanto, a conversão entre os espaços de cores deve ser feita com certa cautela. Também é importante citar que os valores RGB lineares são raramente utilizados para representar uma imagem já que são, perceptualmente, altamente não uniformes (Plataniotis e Venetsanopoulos, 2000).

2.1.4 Modelo CMY

O modelo CMY é baseado nas cores primárias complementares Ciano, Magenta e Amarelo e, diferentemente do RGB, é um modelo de cores subtrativo no qual as cores são geradas subtraindo-se o comprimento da onda dominante da luz branca e, por isso, a cor resultante corresponde à luz que é refletida (Gonzalez e Woods, 2002).

Uma maneira de obter o sistema CMY é:


```
@Article{MenaChalco08,
  author   = {Jesús P. Mena-Chalco and Helaine Carrer and Yossi Zana and
              Roberto M. Cesar-Jr.},
  title    = {Identification of protein coding regions using the modified
              {G}abor-wavelet transform},
  journal  = {IEEE/ACM Transactions on Computational Biology and Bioinformatics},
  volume   = {5},
  pages    = {198-207},
  year     = {2008},
}
```

- @InCollection: (Babaoglu e Marzullo, 1993).

```
@InCollection{bobaoglu93:concepts,
  author   = {Ozalp Babaoglu and Keith Marzullo},
  title    = {Consistent Global States of Distributed Systems: Fundamental Concepts
              and Mechanisms},
  editor    = {Sape Mullender},
  booktitle= {Distributed Systems},
  edition   = {segunda},
  year     = {1993},
  pages    = {55-96}
}
```

- @Conference: (Bronevetsky *et al.*, 2003).

```
@Conference{bronevetsky02,
  author   = {Greg Bronevetsky and Daniel Marques and Keshav Pingali and
              Paul Stodghill},
  title    = {Automated application-level checkpointing of {MPI} programs},
  booktitle= {PPOPP '03: Proceedings of the 9th ACM SIGPLAN Symposium on Principles
              and Practice of Parallel Programming},
  year     = {2003},
  pages    = {84-89}
}
```

- @PhdThesis: (Garcia, 2001).

```
@PhdThesis{garcia01:PhD,
  author   = {Islene C. Garcia},
  title    = {Visões Progressivas de Computações Distribuídas},
  school   = {Instituto de Computação, Universidade de Campinas, Brasil},
  year     = {2001},
  month    = {Dezembro}
}
```

- @MastersThesis: (Schmidt, 2003).

```
@MastersThesis{schmidt03:MSc,
  author   = {Rodrigo M. Schmidt},
  title    = {Coleta de Lixo para Protocolos de \emph{Checkpointing}},
  school   = {Instituto de Computação, Universidade de Campinas, Brasil},
  year     = {2003},
  month    = {Oct}
}
```

- @Techreport: (Alvisi *et al.*, 1999).

```
@Techreport{alvisi99:analysisCIC,
  author   = {Lorenzo Alvisi and Elmootazbellah Elnozahy and Sriram S. Rao and
              Syed A. Husain and Asanka Del Mel},
  title    = {An Analysis of Communication-Induced Checkpointing},
  institution= {Department of Computer Science, University of Texas at Austin},
  year     = {1999},
  number   = {TR-99-01},
  address  = {Austin, {USA}}
}
```

- @Manual: (Object Management Group, 2002).


```
@Manual{CORBA:spec,
  title   = {{CORBA v3.0 Specification}},
  author  = {{Object Management Group}},
  month   = Jul,
  year    = {2002},
  note    = {{OMG Document 02-06-33}}
}
```

- @Misc: (Allcock, 2003).

```
@Misc{gridftp,
  author   = {William Allcock},
  title    = {{GridFTP} protocol specification. {Global Grid Forum}
             Recommendation {{GFD}.20}},
  year     = {2003}
}
```

- @Misc: para referência a artigo online (Fowler, 2004).

```
@Misc{fowler04:designDead,
  author   = {Martin Fowler},
  title    = {Is Design Dead?},
  year     = {2004},
  month    = May,
  note     = {Último acesso em 30/1/2010},
  howpublished= {\url{http://martinfowler.com/articles/designDead.html}},
}
```

- @Misc: para referência a página web (Foundation).

```
@Misc{FSF:GNU-GPL,
  author   = {Free Software Foundation},
  title    = {GNU general public license},
  year     = {2007},
  note     = {Último acesso em 30/1/2010},
  howpublished= {\url{http://www.gnu.org/copyleft/gpl.html}},
}
```


Apêndice A

Sequências

[illegible]

<i>Limiar</i>	MGWT			AMI			<i>Spectrum</i> de Fourier			Características espectrais		
	<i>Sn</i>	<i>Sp</i>	<i>AC</i>	<i>Sn</i>	<i>Sp</i>	<i>AC</i>	<i>Sn</i>	<i>Sp</i>	<i>AC</i>	<i>Sn</i>	<i>Sp</i>	<i>AC</i>
1	1.00	0.16	0.08	1.00	0.16	0.08	1.00	0.16	0.08	1.00	0.16	0.08
2	1.00	0.16	0.09	1.00	0.16	0.09	1.00	0.16	0.09	1.00	0.16	0.09
2	1.00	0.16	0.10	1.00	0.16	0.10	1.00	0.16	0.10	1.00	0.16	0.10
4	1.00	0.16	0.10	1.00	0.16	0.10	1.00	0.16	0.10	1.00	0.16	0.10
5	1.00	0.16	0.11	1.00	0.16	0.11	1.00	0.16	0.11	1.00	0.16	0.11
6	1.00	0.16	0.12	1.00	0.16	0.12	1.00	0.16	0.12	1.00	0.16	0.12
7	1.00	0.17	0.12	1.00	0.17	0.12	1.00	0.17	0.12	1.00	0.17	0.13
8	1.00	0.17	0.13	1.00	0.17	0.13	1.00	0.17	0.13	1.00	0.17	0.13
9	1.00	0.17	0.14	1.00	0.17	0.14	1.00	0.17	0.14	1.00	0.17	0.14
10	1.00	0.17	0.15	1.00	0.17	0.15	1.00	0.17	0.15	1.00	0.17	0.15
11	1.00	0.17	0.15	1.00	0.17	0.15	1.00	0.17	0.15	1.00	0.17	0.15
12	1.00	0.18	0.16	1.00	0.18	0.16	1.00	0.18	0.16	1.00	0.18	0.16
13	1.00	0.18	0.17	1.00	0.18	0.17	1.00	0.18	0.17	1.00	0.18	0.17
14	1.00	0.18	0.17	1.00	0.18	0.17	1.00	0.18	0.17	1.00	0.18	0.17
15	1.00	0.18	0.18	1.00	0.18	0.18	1.00	0.18	0.18	1.00	0.18	0.18
16	1.00	0.18	0.19	1.00	0.18	0.19	1.00	0.18	0.19	1.00	0.18	0.19
17	1.00	0.19	0.19	1.00	0.19	0.19	1.00	0.19	0.19	1.00	0.19	0.19
17	1.00	0.19	0.20	1.00	0.19	0.20	1.00	0.19	0.20	1.00	0.19	0.20
19	1.00	0.19	0.21	1.00	0.19	0.21	1.00	0.19	0.21	1.00	0.19	0.21
20	1.00	0.19	0.22	1.00	0.19	0.22	1.00	0.19	0.22	1.00	0.19	0.22

Tabela A.1: *Exemplo de tabela.*

Referências Bibliográficas

- Allcock(2003)** William Allcock. GridFTP protocol specification. Global Grid Forum recommendation (GFD.20), 2003. Citado na pág. [9](#)
- Alon(2009)** Uri Alon. How To Choose a Good Scientific Problem. *Molecular Cell*, 35(6):726–728. doi: 10.1016/j.molcel.2009.09.013. Citado na pág. [11](#)
- Alvisi et al.(1999)** Lorenzo Alvisi, Elmootazbellah Elnozahy, Sriram S. Rao, Syed A. Husain e Asanka Del Mel. An analysis of communication-induced checkpointing. Relatório Técnico TR-99-01, Department of Computer Science, University of Texas at Austin, Austin, USA. Citado na pág. [8](#)
- Babaoglu e Marzullo(1993)** Ozalp Babaoglu e Keith Marzullo. Consistent global states of distributed systems: Fundamental concepts and mechanisms. Em Sape Mullender, editor, *Distributed Systems*, páginas 55–96. segunda edição. Citado na pág. [8](#)
- Bronevetsky et al.(2003)** Greg Bronevetsky, Daniel Marques, Keshav Pingali e Paul Stodghill. Automated application-level checkpointing of MPI programs. Em *PPoPP '03: Proceedings of the 9th ACM SIGPLAN Symposium on Principles and Practice of Parallel Programming*, páginas 84–89. Citado na pág. [8](#)
- Eco(2009)** Umberto Eco. *Como se Faz uma Tese*. Perspectiva, 22º edição. Tradução Gilson Cesar Cardoso de Souza. Citado na pág. [1](#)
- Foundation()** Free Software Foundation. GNU general public license. <http://www.gnu.org/copyleft/gpl.html>. Último acesso em 30/1/2010. Citado na pág. [9](#)
- Fowler(2004)** Martin Fowler. Is design dead? <http://martinfowler.com/articles/designDead.html>, Maio 2004. Último acesso em 30/1/2010. Citado na pág. [9](#)
- Garcia(2001)** Islene C. Garcia. *Visões Progressivas de Computações Distribuídas*. Tese de Doutorado, Instituto de Computação, Universidade de Campinas, Brasil. Citado na pág. [8](#)
- Gevers et al.(2012)** Theo Gevers, Arjan Gijsenij, Joost van de Weijer e Jan-Mark Geusebroek. *Color in Computer Vision: Fundamentals and Applications*. Wiley. ISBN 0470890843. Citado na pág. [3](#), [5](#), [6](#)
- Gonzalez e Woods(2002)** Rafael C. Gonzalez e Richard E. Woods. *Digital Image Processing*. Prentice Hall, segunda edição. ISBN 0201180758. Citado na pág. [3](#), [4](#), [6](#)
- Higham(1998)** Nicholas J. Higham. *Handbook of Writing for the Mathematical Sciences*. SIAM: Society for Industrial and Applied Mathematics, segunda edição. Citado na pág. [1](#)
- Knuth et al.(1996)** Donald E. Knuth, Tracy Larrabee e Paul M. Roberts. *Mathematical Writing*. The Mathematical Association of America. Citado na pág. [1](#)
- Mena-Chalco et al.(2008)** Jesús P. Mena-Chalco, Helaine Carrer, Yossi Zana e Roberto M. Cesar-Jr. Identification of protein coding regions using the modified Gabor-wavelet transform. *IEEE/ACM Transactions on Computational Biology and Bioinformatics*, 5:198–207. Citado na pág. [7](#)

- Object Management Group(2002)** Object Management Group. *CORBA v3.0 Specification*, Julho 2002. OMG Document 02-06-33. Citado na pág. 8
- Pedrini e Schwartz(2008)** Hélio Pedrini e William Robson Schwartz. *Análise de imagens digitais: princípios, algoritmos e aplicações*. Thomson Learning, São Paulo. ISBN 978-85-221-0595-3. Citado na pág. 7
- Plataniotis e Venetsanopoulos(2000)** Konstantinos N. Plataniotis e Anastasios N. Venetsanopoulos. *Color Image Processing and Applications*. Springer, primeira edição. ISBN 3642086268. Citado na pág. 3, 4, 6
- Schmidt(2003)** Rodrigo M. Schmidt. Coleta de lixo para protocolos de *Checkpointing*. Dissertação de Mestrado, Instituto de Computação, Universidade de Campinas, Brasil. Citado na pág. 8
- Tufte(2001)** Edward Tufte. *The Visual Display of Quantitative Information*. Graphics Pr, 2nd edição. Citado na pág. 1
- Vezhnevets et al.(2003)** Vladimir Vezhnevets, Vassili Sazonov e Alla Andreeva. A survey on pixel-based skin color detection techniques. Em *In Proc. GRAPHICON-2003*, páginas 85–92. Citado na pág. 5
- Wazlawick(2009)** Raul S. Wazlawick. *Metodologia de Pesquisa em Ciencia da Computação*. Campus, primeira edição. Citado na pág. 1
- Zobel(2004)** Justin Zobel. *Writing for Computer Science: The art of effective communication*. Springer, segunda edição. Citado na pág. 1

Índice Remissivo

cores

- modelo CIE, [4](#)
- modelo de Munsell, [3](#)
- modelo RGB, [6](#)
- modelos CMY, [6](#)
- modelos de, [3](#)
- modelos HSI, [7](#)

genoma

- projetos, [1](#)

proposto

- cronograma, [11](#)